

НЕЛІНІЙНЕ ДЕФОРМУВАННЯ ТОНКИХ ОБОЛОНОК, ПОДАТЛИВИХ ДО ЗСУВУ ТА СТИСНЕННЯ

З використанням співвідношень геометрично нелінійної теорії тонких оболонок, податливих до зсуву та стиснення (шестимодальний варіант), записано ключові рівняння для визначення їх напружено-деформованого стану. Методом скінченних елементів отримано числові розв'язки задач про деформування пластини-смуги та катеноїда на основі розглядуваної теорії, порівняно ці розв'язки із розв'язками, побудованими на основі теорій оболонок Кірхгофа-Лява та Тимошенка-Міндліна (п'ятимодальний варіант).

Вступ. Визначення напружено-деформованого стану тонких гнучких оболонок у зв'язку з підвищенням інтенсивності експлуатації оболонкових конструкцій та висуванням жорстких вимог для забезпечення їх надійності, займає вагоме місце серед задач механіки деформівного твердого тіла.

Фундаментальні результати розробки геометрично нелінійної теорії оболонок наведені у праці [6], де викладено загальний підхід до проблеми деформації гнучких тіл. В інженерній практиці часто використовують математичні моделі тонких оболонок, що ґрунтуються на класичних гіпотезах Кірхгофа-Лява та Тимошенка-Міндліна (п'ятимодальний варіант) [2, 13]. Однак широкого розповсюдження набули уточнені математичні моделі оболонок, що враховують поперечні лінійні та зсувні деформації [4, 7, 12].

Розрахунок гнучких оболонкових конструкцій призводить до розв'язування нелінійних задач, що викликає певні труднощі, подолати які можна, застосувавши числові методи [1, 9], засновані, зокрема, на варіаційних формулюваннях розглянутих задач.

У цій статті записано ключові рівняння для визначення напружено-деформованого стану гнучких оболонок, податливих до зсуву та стиснення, розрахунок яких базується на методі скінченних елементів [1, 9, 11].

Вихідні гіпотези теорії оболонок. Розглянемо оболонку як тривимірне тіло, що в недеформованому стані віднесемо до криволінійної ортогональної системи координат α_i ($i = \overline{1,3}$), причому напрям α_3 є нормальним до серединної поверхні Ω оболонки:

$$V = \{(\alpha_1, \alpha_2, \alpha_3) : (\alpha_1, \alpha_2) \in \Omega, -h/2 \leq \alpha_3 \leq h/2\}.$$

Вважатимемо, що координатні лінії α_1, α_2 серединної поверхні Ω збігаються з лініями головних кривин, а товщина h є суттєво менша від характерних розмірів оболонки.

Згідно з кінематичною гіпотезою теорії оболонок типу Тимошенка, переміщення точок оболонки під час її деформування можна подати у вигляді

$$U_i(\alpha_1, \alpha_2, \alpha_3) = u_i(\alpha_1, \alpha_2) + \alpha_3 \gamma_i(\alpha_1, \alpha_2), \quad i = \overline{1,3}, \quad (1)$$

де u_i – переміщення точок серединної поверхні Ω оболонки; γ_i – компоненти вектора кутів повороту нормалі до серединної поверхні оболонки [7]

$$\vec{\gamma} = -\gamma_2 \vec{e}_1 + \gamma_1 \vec{e}_2 + \gamma_3 \vec{e}_3,$$

$\vec{e}_1, \vec{e}_2, \vec{e}_3$ – орти ортогональної системи координат $(\alpha_1, \alpha_2, \alpha_3)$, причому

вектор \bar{e}_3 напрямлено в бік опуклості серединної поверхні.

Вважаємо, що розглядувана оболонка є лінійно пружною [8]. Таке припущення справедливе для малих деформацій за немалих поворотів. Тоді для ортотропного матеріалу оболонки компоненти тензорів напружень σ_{ij}^* ($i, j = \overline{1,3}$) та деформацій \mathcal{E}_{ij} ($i, j = \overline{1,3}$) пов'язані між собою такими залежностями:

$$\begin{aligned} \sigma_{11}^* &= a_{11}\mathcal{E}_{11} + a_{12}\mathcal{E}_{22} + a_{13}\mathcal{E}_{33}, & \sigma_{12}^* &= a_{44}\mathcal{E}_{12}, \\ \sigma_{22}^* &= a_{21}\mathcal{E}_{11} + a_{22}\mathcal{E}_{22} + a_{23}\mathcal{E}_{33}, & \sigma_{13}^* &= a_{55}\mathcal{E}_{13}, \\ \sigma_{33}^* &= a_{31}\mathcal{E}_{11} + a_{32}\mathcal{E}_{22} + a_{33}\mathcal{E}_{33}, & \sigma_{23}^* &= a_{66}\mathcal{E}_{23}, \end{aligned} \quad (2)$$

де σ_{ij}^* – компоненти тензора напружень на площадках у деформованому стані, причому за малих деформацій $\sigma_{ij}^* = \sigma_{ji}^*$ [5]. Надалі символ (*) біля компонент напружень для зручності не використовуватимемо. Коефіцієнти a_{ij} визначають за допомогою співвідношень

$$\begin{aligned} a_{11} &= E_1(1 - \nu_{23}\nu_{32})/D, & a_{22} &= E_2(1 - \nu_{13}\nu_{31})/D, \\ a_{33} &= E_3(1 - \nu_{12}\nu_{21})/D, & a_{44} &= G_{12}, & a_{55} &= G_{13}, \\ a_{66} &= G_{23}, & a_{12} &= a_{21} = E_1(\nu_{12} + \nu_{13}\nu_{32})/D, \\ a_{13} &= a_{31} = E_1(\nu_{13} + \nu_{12}\nu_{23})/D, & a_{23} &= a_{32} = E_2(\nu_{23} + \nu_{13}\nu_{21})/D, \\ D &= 1 - \nu_{12}\nu_{23}\nu_{31} - \nu_{13}\nu_{21}\nu_{32} - \nu_{12}\nu_{21} - \nu_{13}\nu_{31} - \nu_{23}\nu_{32}, \end{aligned}$$

де E_i – модулі Юнга матеріалу в осях ортотропії оболонки; ν_{ij} – коефіцієнти Пуассона в осях ортотропії оболонки; G_{ij} – модулі зсуву в площадках, перпендикулярних до серединної поверхні.

На відміну від математичних моделей оболонок з жорсткою нормаллю, постулювання ненульового γ_3 дає можливість моделювати напружено-деформований стан оболонки з ненульовою апроксимацією σ_{33} .

Деформація оболонки. Згідно з [6], співвідношення для компонент тензора деформацій \mathcal{E}_{ij} для тонкостінних гнучких тіл пов'язані з лінійними деформаціями E_{ij} та кутами повороту ω_n формулами

$$\begin{aligned} \mathcal{E}_{11} &= E_{11} + \frac{1}{2}(\omega_2^2 + \omega_3^2), \\ \mathcal{E}_{12} &= E_{12} - \omega_1\omega_2, \quad (1 \Rightarrow 2 \Rightarrow 3). \end{aligned} \quad (3)$$

Видовження E_{ii} , зсуви E_{ij} ($i \neq j$) та кути повороту ω_n , що входять у (3), мають вигляд

$$\begin{aligned} E_{ii} &= \frac{e_{ii} + \alpha_3 \kappa_{ii}}{1 + \alpha_3 k_i}, & E_{33} &= e_{33}, \\ E_{12} &= \frac{2e_{12} + \alpha_3 2\kappa_{12}}{(1 + \alpha_3 k_1)(1 + \alpha_3 k_2)}, & E_{i3} &= \frac{2e_{i3} + \alpha_3 2\kappa_{i3}}{1 + \alpha_3 k_i}, \quad (i = 1, 2), \end{aligned} \quad (4)$$

$$\omega_1 = \frac{0 \quad 1}{\omega_1 + \alpha_3 \omega_1}, \quad \omega_2 = \frac{0 \quad 1}{1 + \alpha_3 k_1}, \quad \omega_3 = \frac{0 \quad 1}{(\omega_3 + \alpha_3 \omega_3)(1 + \alpha_3 k_2)}, \quad (5)$$

де $\{e_{ij}(u)\}$ та $\{k_{ij}(u)\}$ – тангенціальні та згинні компоненти тензора деформацій;

$$\begin{aligned}\omega_1^0 &= \frac{1}{2} \left(\frac{\partial_2 u_3}{A_2} - \gamma_2 - k_2 u_2 \right), & \omega_2^0 &= \frac{1}{2} \left(\gamma_1 + k_1 u_1 - \frac{\partial_1 u_3}{A_1} \right), \\ \omega_3^0 &= \frac{\partial_1 (A_2 u_2)}{2A_1 A_2} - \frac{\partial_2 (A_1 u_1)}{2A_1 A_2}, & \omega_1^1 &= \frac{1}{2} \frac{\partial_2 \gamma_3}{A_2} - k_2 \gamma_2, \\ \omega_2^1 &= k_1 \gamma_1 - \frac{1}{2} \frac{\partial_1 \gamma_3}{A_1}, & \omega_3^1 &= \frac{\partial_1 (A_2 \gamma_2)}{2A_1 A_2} - \frac{\partial_2 (A_1 \gamma_1)}{2A_1 A_2}.\end{aligned}\quad (6)$$

Тут $A_1 = A_1(\alpha_1, \alpha_2)$, $A_2 = A_2(\alpha_1, \alpha_2)$ – коефіцієнти першої квадратичної форми серединної поверхні оболонки Ω ; $k_1 = k_1(\alpha_1, \alpha_2)$, $k_2 = k_2(\alpha_1, \alpha_2)$ – її головні кривини відповідно. В формулах (6) та надалі введено позначення $\partial_1 = \partial/\partial\alpha_1$, $\partial_2 = \partial/\partial\alpha_2$, $\partial_3 = \partial/\partial\alpha_3$.

Таким чином, враховуючи (4) та (5), від деформаційних співвідношень (3) перейдемо до таких:

$$\begin{aligned}\varepsilon_{ii} &= \frac{\varepsilon_{ii} + \alpha_3 \chi_{ii}}{1 + \alpha_3 k_i}, & \varepsilon_{33} &= \varepsilon_{33}, \\ \varepsilon_{12} &= \frac{2\varepsilon_{12} + \alpha_3 2\chi_{12}}{(1 + \alpha_3 k_1)(1 + \alpha_3 k_2)}, & \varepsilon_{i3} &= \frac{2\varepsilon_{i3} + \alpha_3 2\chi_{i3}}{1 + \alpha_3 k_i}, \quad (i = 1, 2),\end{aligned}\quad (7)$$

де

$$\begin{aligned}\varepsilon_{11} &= e_{11} + \frac{1}{2} \omega_2^0{}^2 + \frac{1}{2} \omega_3^0{}^2, & \varepsilon_{22} &= e_{22} + \frac{1}{2} \omega_1^0{}^2 + \frac{1}{2} \omega_3^0{}^2, \\ \varepsilon_{33} &= e_{33}, & \varepsilon_{12} &= e_{12} - \omega_1^0 \omega_2^0, \quad (1 \Rightarrow 2 \Rightarrow 3), \\ \chi_{11} &= K_{11} + \omega_2^0 \omega_2^1 + \omega_3^0 \omega_3^1 - \frac{1}{2} k_1 \omega_2^0{}^2 - \frac{1}{2} (k_1 + 2k_2) \omega_3^0{}^2, \\ \chi_{22} &= K_{22} + \omega_1^0 \omega_1^1 + \omega_3^0 \omega_3^1 - \frac{1}{2} k_2 \omega_1^0{}^2 - \frac{1}{2} (2k_1 + k_2) \omega_3^0{}^2, \\ \chi_{12} &= K_{12} - \frac{1}{2} \omega_1^0 \omega_2^1 - \frac{1}{2} \omega_1^1 \omega_2^0, \\ \chi_{13} &= K_{13} - \frac{1}{2} \omega_1^0 \omega_3^1 - \frac{1}{2} \omega_1^1 \omega_3^0 + k_2 \omega_1^0 \omega_3^0, \\ \chi_{23} &= K_{23} - \frac{1}{2} \omega_2^0 \omega_3^1 - \frac{1}{2} \omega_2^1 \omega_3^0 + k_1 \omega_2^0 \omega_3^0.\end{aligned}\quad (8)$$

Рівняння рівноваги та фізичні співвідношення. Диференціальні рівняння, що описують рівновагу деформованого тіла, та статичні крайові умови можна записати з принципу можливих переміщень [6]:

$$\begin{aligned}\partial_1 (N_{11} A_2) - N_{22} \partial_1 A_2 + (N_{12}^* + N_{21}^*) \partial_2 A_1 + A_1 \partial_2 N_{12}^* + k_1 A_1 A_2 N_{13}^* + \\ + \frac{1}{2} \partial_2 ((M_{12}^* + M_{21}^*) k_1 A_1) + \frac{1}{2} (M_{12}^* + M_{21}^*) k_2 \partial_2 A_1 = -P_1 A_1 A_2, \\ -N_{11} \partial_2 A_1 + \partial_2 (N_{22} A_1) + (N_{12}^* + N_{21}^*) \partial_1 A_2 + A_2 \partial_1 N_{21}^* + k_2 A_1 A_2 N_{23}^* + k_2 A_1 A_2 N_{23}^* + \\ + \frac{1}{2} \partial_1 ((M_{12}^* + M_{21}^*) k_2 A_2) + \frac{1}{2} (M_{12}^* + M_{21}^*) k_1 \partial_1 A_2 = -P_2 A_1 A_2, \\ -A_1 A_2 (N_{11} k_1 + N_{22} k_2) + \partial_1 (N_{13}^* A_2) + \partial_2 (N_{23}^* A_1) = -P_3 A_1 A_2, \\ -A_1 A_2 N_{31}^* + \partial_1 (M_{11} A_2) - M_{22} \partial_1 A_2 + (M_{12}^* + M_{21}^*) \partial_2 A_1 + A_1 \partial_2 M_{12}^* = -A_1 A_2 m_1,\end{aligned}\quad (9)$$

$$-A_1 A_2 N_{32}^* - M_{11} \partial_2 A_1 + \partial_2 (M_{22} A_1) + (M_{12}^* + M_{21}^*) \partial_1 A_2 + A_2 \partial_1 M_{21}^* = -A_1 A_2 m_2,$$

$$-A_1 A_2 (N_{33} + k_1 M_{11} + k_2 M_{22}) + \partial_1 (A_2 M_{13}^*) + \partial_2 (A_1 M_{23}^*) = -A_1 A_2 m_3,$$

де N_{ij}, M_{ij} – інтегральні характеристики напружень [7]; P_i, m_i – усереднені характеристики навантаження [7]; N_{ij}^*, M_{ij}^* – нововведені характеристики напружень

$$N_{12}^* = S - \frac{1}{2} \left(\begin{aligned} & \omega_3^0 (N_{11} + N_{22} - (k_1 + 2k_2) M_{11} - (2k_1 + k_2) M_{22}) - \omega_1^1 M_{13} + \\ & + \omega_1^0 (2k_2 M_{13} - N_{13}) + \omega_2^0 (2k_1 M_{23} - N_{23}) + \omega_3^1 (M_{11} + M_{22}) - \omega_2^1 M_{23} \end{aligned} \right),$$

$$N_{21}^* = S + \frac{1}{2} \left(\begin{aligned} & \omega_3^0 (N_{11} + N_{22} - (k_1 + 2k_2) M_{11} - (2k_1 + k_2) M_{22}) - \omega_1^1 M_{13} + \\ & + \omega_1^0 (2k_2 M_{13} - N_{13}) + \omega_2^0 (2k_1 M_{23} - N_{23}) + \omega_3^1 (M_{11} + M_{22}) - \omega_2^1 M_{23} \end{aligned} \right),$$

$$N_{13}^* = N_{13} - \frac{1}{2} \left(\begin{aligned} & \omega_2^0 (N_{11} - k_1 M_{11}) - \omega_1^0 S + \omega_3^0 (2k_1 M_{23} - N_{23}) + \omega_2^1 M_{11} - \omega_1^1 H - \omega_3^1 M_{23} \end{aligned} \right),$$

$$N_{31}^* = N_{13} + \frac{1}{2} \left(\begin{aligned} & \omega_2^0 (N_{11} + k_1 M_{11}) - \omega_3^1 M_{23} + \omega_2^1 M_{11} - \omega_1^0 (S + 2k_1 H) - \omega_3^0 N_{23} - \omega_1^1 H \end{aligned} \right),$$

$$N_{23}^* = N_{23} + \frac{1}{2} \left(\begin{aligned} & \omega_1^0 (N_{22} - k_2 M_{22}) - \omega_2^0 S + \omega_3^0 (2k_2 M_{13} - N_{13}) + \omega_1^1 M_{22} - \omega_2^1 H - \omega_3^1 M_{13} \end{aligned} \right),$$

$$N_{32}^* = N_{23} - \frac{1}{2} \left(\begin{aligned} & \omega_1^0 (N_{22} + k_2 M_{22}) - \omega_3^1 M_{13} + \omega_1^1 M_{22} - \omega_2^0 (S + 2k_2 H) - \omega_3^0 N_{13} - \omega_2^1 H \end{aligned} \right),$$

$$M_{12}^* = H - \frac{1}{2} \left(\begin{aligned} & \omega_3^0 (M_{11} + M_{22}) - \omega_1^0 M_{13} - \omega_2^0 M_{23} \end{aligned} \right), \quad (10)$$

$$M_{21}^* = H + \frac{1}{2} \left(\begin{aligned} & \omega_3^0 (M_{11} + M_{22}) - \omega_1^0 M_{13} - \omega_2^0 M_{23} \end{aligned} \right),$$

$$M_{13}^* = M_{13} - \frac{1}{2} \left(\begin{aligned} & \omega_2^0 M_{11} - \omega_1^0 H - \omega_3^0 M_{23} \end{aligned} \right),$$

$$M_{23}^* = M_{23} + \frac{1}{2} \left(\begin{aligned} & \omega_1^0 M_{22} - \omega_2^0 H - \omega_3^0 M_{13} \end{aligned} \right).$$

Тут введені позначення $H = M_{12} = M_{21}$, $S = N_{12} - k_2 M_{21} = N_{21} - k_1 M_{12}$.

Запишемо вирази для статичних крайових умов на напруження на частині Γ_σ контуру Γ серединної поверхні:

$$N_t = N_{11} \cos^2(n, \alpha_1) + N_{22} \sin^2(n, \alpha_1) + \frac{1}{2} (N_{12}^* + N_{21}^*) \sin 2(n, \alpha_1) + \frac{1}{4} (k_1 + k_2) (M_{12}^* + M_{21}^*) \sin 2(n, \alpha_1),$$

$$N_s = \frac{1}{2} (N_{22} - N_{11}) \sin 2(n, \alpha_1) - N_{12}^* \sin^2(n, \alpha_1) + N_{21}^* \cos^2(n, \alpha_1) + \frac{1}{2} (k_2 \cos^2(n, \alpha_1) - k_1 \sin^2(n, \alpha_1)) (M_{12}^* + M_{21}^*),$$

$$N_n = N_{13}^* \cos(n, \alpha_1) + N_{23}^* \sin(n, \alpha_1), \quad (11)$$

$$M_t = M_{11} \cos^2(n, \alpha_1) + M_{22} \sin^2(n, \alpha_1) + \frac{1}{2} (M_{12}^* + M_{21}^*) \sin 2(n, \alpha_1),$$

$$M_s = \frac{1}{2} (M_{22} - M_{11}) \sin 2(n, \alpha_1) - M_{12}^* \sin^2(n, \alpha_1) + M_{21}^* \cos^2(n, \alpha_1),$$

$$M_n = M_{13}^* \cos(n, \alpha_1) + M_{23}^* \sin(n, \alpha_1).$$

Тут через n позначено нормаль до межі серединної поверхні оболонки.

Для встановлення кінематичної визначеності системи необхідно додати також крайові умови в зміщеннях [7] на $\Gamma_u = \Gamma \setminus \Gamma_\sigma$:

$$\begin{aligned} u_t^b &= u_1 \cos(n, \alpha_1) + u_2 \sin(n, \alpha_1), & u_s^b &= -u_1 \sin(n, \alpha_1) + u_2 \cos(n, \alpha_1), \\ u_n^b &= -u_3, & \gamma_t^b &= \gamma_1 \cos(n, \alpha_1) + \gamma_2 \sin(n, \alpha_1), \\ \gamma_s^b &= -\gamma_1 \sin(n, \alpha_1) + \gamma_2 \cos(n, \alpha_1), & \gamma_n^b &= \gamma_3. \end{aligned} \quad (12)$$

Щоб отримати замкнену систему, що описує нелінійне деформування оболонок, податливих до зсуву та стиснення, наведені вище рівняння слід доповнити фізичними співвідношеннями, що пов'язують деформації з внутрішніми зусиллями та моментами. Для цього підставимо в пружний потенціал

$$2W = \sigma_{11}\epsilon_{11} + \sigma_{22}\epsilon_{22} + \sigma_{33}\epsilon_{33} + \sigma_{12}\epsilon_{12} + \sigma_{13}\epsilon_{13} + \sigma_{23}\epsilon_{23} \quad (13)$$

закон пружності тривимірної теорії (2)

$$\begin{aligned} W &= \frac{1}{2} (a_{11}\epsilon_{11}^2 + a_{22}\epsilon_{22}^2 + a_{33}\epsilon_{33}^2 + a_{44}\epsilon_{12}^2 + a_{55}\epsilon_{13}^2 + a_{66}\epsilon_{23}^2 + (a_{12} + a_{21})\epsilon_{11}\epsilon_{22} + \\ &+ (a_{13} + a_{31})\epsilon_{11}\epsilon_{33} + (a_{23} + a_{32})\epsilon_{22}\epsilon_{33}). \end{aligned} \quad (14)$$

Співвідношення пружності теорії оболонок отримуємо із формул [7]

$$\begin{aligned} N_{11} &= \frac{\partial W_0}{\partial \epsilon_{11}} = h \left(a_{11}\epsilon_{11} + \frac{1}{2} (a_{12} + a_{21})\epsilon_{22} + \frac{1}{2} (a_{13} + a_{31})\epsilon_{33} \right) \\ N_{22} &= \frac{\partial W_0}{\partial \epsilon_{22}} = h \left(a_{22}\epsilon_{22} + \frac{1}{2} (a_{12} + a_{21})\epsilon_{11} + \frac{1}{2} (a_{23} + a_{32})\epsilon_{33} \right) \\ N_{33} &= \frac{\partial W_0}{\partial \epsilon_{33}} = h \left(a_{33}\epsilon_{33} + \frac{1}{2} (a_{13} + a_{31})\epsilon_{11} + \frac{1}{2} (a_{23} + a_{32})\epsilon_{22} \right) \\ S &= \frac{\partial W_0}{\partial 2\epsilon_{12}} = 2a_{44}h\epsilon_{12}, & N_{13} &= \frac{\partial W_0}{\partial 2\epsilon_{13}} = 2a_{55}h\epsilon_{13}, \\ N_{23} &= \frac{\partial W_0}{\partial 2\epsilon_{23}} = 2a_{66}h\epsilon_{23}, \end{aligned} \quad (15)$$

$$\begin{aligned} M_{11} &= \frac{\partial W_0}{\partial \chi_{11}} = \frac{h^3}{12} \left(a_{11}\chi_{11} + \frac{1}{2} (a_{12} + a_{21})\chi_{22} \right) \\ H &= \frac{\partial W_0}{\partial 2\chi_{12}} = \frac{h^3}{6} a_{44}\chi_{12}, & M_{13} &= \frac{\partial W_0}{\partial 2\chi_{13}} = \frac{h^3}{6} a_{55}\chi_{13}, & M_{23} &= \frac{\partial W_0}{\partial 2\chi_{23}} = \frac{h^3}{6} a_{66}\chi_{23}, \end{aligned}$$

де $W_0 = \int_{-\frac{h}{2}}^{\frac{h}{2}} W(1 + \alpha_3 k_1)(1 + \alpha_3 k_2) d\alpha_3$ – питома енергія деформації.

Таким чином, напружено-деформований стан оболонок, податливих до зсуву та стиснення, повністю описують деформаційні співвідношення (8), рівняння рівноваги (9) з відповідними статичними (11) та кінематичними (12) крайовими умовами, співвідношення пружності (15).

Розв'язували задачу механіки деформування оболонок методом скінченних елементів [1, 9, 11] з використанням біквадратичних ізопараметричних апроксимацій серендипового типу, що базується на варіаційних принципах. Варіаційне формулювання задачі нелінійної теорії оболонок, податливих до зсуву та стиснення, та обчислювальні аспекти методу скінченних елементів наведено у праці [10].

Числові приклади. Розглядали оболонку, утворену обертанням лінії $y = a \operatorname{ch}(x/a)$ навколо осі ox , серединна поверхня якої – поверхня обертання змінної від’ємної гаусової кривини $k_1 = -a / y^2$ [5]. Контур оболонки $x = 0$ вільний, а контур $x = x_n$ жорстко закріплений. Оболонка деформується під дією рівномірно розподіленого осевого поверхневого навантаження q .

Розраховували для таких вхідних параметрів: $a = 0,4$ м, $x_n = 0,8$ м, $E = 0,7 \cdot 10^6$ кг/см², $\nu = 0,3$, $h = 0,02$ м, $q = 17$ кг/см² [5].

На рис. 1 і 2 наведено графіки переміщення серединної поверхні оболонки u_3 , меридіального напруження σ_{11} на внутрішній поверхні оболонки. Криві 1 та 2 – розв’язки за геометрично лінійною та нелінійною теоріями. Маркерами позначено числовий розв’язок, наведений у праці [5] в межах теорії Кірхгофа–Лява, зокрема, квадратами – лінійний розв’язок, зірочками – нелінійний.

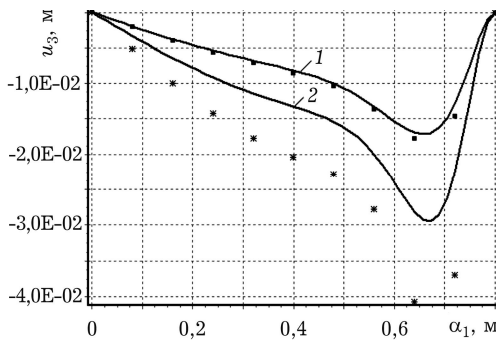


Рис. 1. Переміщення u_3 вздовж меридіана катеноїда.

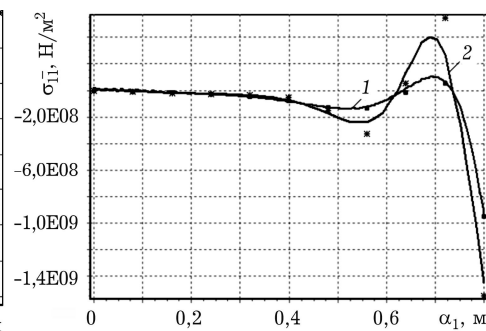


Рис. 2. Меридіальне напруження на внутрішній поверхні катеноїда.

Як видно з рисунків, числові результати, отримані з використанням розглядуваної теорії оболонок, податливих до зсуву та стиснення, якісно погоджуються з числовими розв’язками цієї задачі за теорією Кірхгофа–Лява, наведеними у праці [5] (значення відносної товщини розглядуваного катеноїда не перевищує $1/20$).

Також розглядали задачу про визначення переміщень у пластині-смузі довжини l , що знаходиться під дією рівномірного навантаження P_3 . Її край $\alpha_1 = 0$ жорстко закріплений, а $\alpha_1 = l$ – вільний.

Порівнювали числові розв’язки цієї задачі, отримані на основі розглядуваної шестимодальної теорії оболонок, податливих до зсуву та стиснення, числові розв’язки на основі п’ятимодальної теорії оболонок типу Тимошенка–Міндліна [3] та аналітичний розв’язок за п’ятимодальною теорією [3].

Числовий розв’язок задачі одержали за таких вхідних значень: $l = 1$ м; $h = 0,05$ м; $\nu = 0,3$; $E = 10^6$ Н/м²; $P_3 = 1$ Н/м².

У табл. 1 наведено значення прогинів u_3 , отриманих під час розв’язування задачі в лінійній та нелінійній (виділено курсивом у кожному рядку) постановках. Значення прогинів наведено за послідовного згущення сітки скінченних елементів. Цифра 1 – аналітичний розв’язок [3]; 2, 4, 6 – числові розв’язки (шестимодальний варіант) за використання 5, 10 та 20 скінченних елементів по довжині пластини; 3, 5, 7 – числові розв’язки (п’ятимодальний

варіант) [3] за цього ж скінченноелементного розбиття. Табл. 2 містить аналогічні значення для переміщень u_1 .

Таблиця 1.

Прогини $u_3 \cdot 10^2$ (м) пластини-смуги

α_1 , м	1	2	3	4	5	6	7
	Аналі- тич. розв.	5 елементів		10 елементів		20 елементів	
		шестимод. варіант	п'ятимод. варіант	шестимод. варіант	п'ятимод. варіант	шестимод. варіант	п'ятимод. варіант
0.0	0.0	0.0	0.0	0.0	0.0	0.0	0.0
		0.0	0.0	0.0	0.0	0.0	0.0
0.1	-0.0210	-0.015504	-0.019711	-0.016739	-0.020882	-0.016902	-0.021003
		-0.015503	-0.019711	-0.016739	-0.020882	-0.016902	-0.021003
0.2	-0.0774	-0.059983	-0.074887	-0.062413	-0.077169	-0.062721	-0.077399
		-0.059982	-0.074885	-0.062413	-0.077169	-0.062721	-0.077399
0.3	-0.1617	-0.127564	-0.158236	-0.130960	-0.161436	-0.131396	-0.161762
		-0.127562	-0.158233	-0.130960	-0.161436	-0.131396	-0.161762
0.4	-0.2675	-0.212709	-0.263072	-0.217030	-0.267130	-0.217578	-0.267539
		-0.212707	-0.263067	-0.217030	-0.267130	-0.217578	-0.267539
0.5	-0.3890	-0.310973	-0.383852	-0.315990	-0.388573	-0.316632	-0.389052
		-0.310969	-0.383845	-0.315989	-0.388573	-0.316632	-0.389052
0.6	-0.5215	-0.418244	-0.515634	-0.423915	-0.520960	-0.424634	-0.521497
		-0.418239	-0.515625	-0.423915	-0.520960	-0.424634	-0.521497
0.7	-0.6609	-0.531501	-0.654625	-0.537598	-0.660360	-0.538377	-0.660941
		-0.531496	-0.654614	-0.537598	-0.660360	-0.538377	-0.660941
0.8	-0.8043	-0.648061	-0.797629	-0.654542	-0.803716	-0.655364	-0.804329
		-0.648054	-0.797616	-0.654542	-0.803715	-0.655364	-0.804329
0.9	-0.9495	-0.766328	-0.942600	-0.772965	-0.948843	-0.773812	-0.949475
		-0.766320	-0.942585	-0.772964	-0.948842	-0.773812	-0.949475
1.0	-1.0951	-0.885044	-1.088091	-0.891796	-1.094431	-0.892652	-1.095069
		-0.885035	-1.088073	-0.891795	-1.094430	-0.892637	-1.095069

Таблиця 2.

Переміщення $u_1 \cdot 10^5$ (м) пластини-смуги

α_1 , м	1	2	3	4	5	6	7
	Аналі- тич. розв.	5 елементів		10 елементів		20 елементів	
		шестимод. варіант	п'ятимод. варіант	шестимод. варіант	п'ятимод. варіант	шестимод. варіант	п'ятимод. варіант
0.0	0.0	0.0	0.0	0.0	0.0	0.0	0.0
		0.0	0.0	0.0	0.0	0.0	0.0
0.1	-0.0279	-0.001273	0.0	-0.001641	0.0	-0.001694	0.0
		-0.017697	-0.024582	-0.019534	-0.027666	-0.019687	-0.027916
0.2	-0.1896	-0.003415	0.0	-0.003569	0.0	-0.003644	0.0
		-0.121465	-0.180105	-0.127823	-0.188741	-0.128655	-0.189600
0.3	-0.5461	-0.005291	0.0	-0.0055182	0.0	-0.005594	0.0
		-0.351968	-0.527660	-0.365681	-0.544332	-0.367405	-0.545997
0.4	-1.1049	-0.007262	0.0	-0.0074681	0.0	-0.007544	0.0
		-0.717287	-1.076750	-0.738342	-1.102172	-0.741032	-1.104713
0.5	-1.8418	-0.009203	0.0	-0.0094181	0.0	-0.009494	0.0
		-1.201584	-1.804631	-1.229859	-1.838237	-1.233487	-1.841631

Продовження табл. 2.

0.6	-2.7175	-0.011156	0.0	-0.0113681	0.0	-0.011444	0.0
		-1.778793	-2.671515	-1.813948	-2.713023	-1.818412	-2.717179
0.7	-3.6883	-0.031053	0.0	-0.013318	0.0	-0.013394	0.0
		-2.421744	-3.635971	-2.4617925	-3.683240	-2.466940	-3.688020
0.8	-4.7153	-0.015055	0.0	-0.0152681	0.0	-0.015344	0.0
		-3.102720	-4.657394	-3.147288	-4.709692	-3.152939	-4.714932
0.9	-5.7680	-0.017005	0.0	-0.0172181	0.0	-0.017294	0.0
		-3.803895	-5.707513	-3.850272	-5.762107	-3.856228	-5.767626
1.0	-6.8277	-0.018955	0.0	-0.0191681	0.0	-0.019244	0.0
		-4.510453	-6.765634	-4.558215	-6.821670	-4.564268	-6.827284

Як видно із наведених таблиць, задовільний розв'язок задачі для пластини-смуги з відносною товщиною $1/20$ отримуємо на сітці вже з п'яти скінченних елементів.

Висновки. Порівнюючи розв'язки даної задачі, зазначимо, що лише шестимодальний варіант теорії оболонок типу Тимошенка–Міндліна дає можливість вже в лінійному наближенні врахувати переміщення u_1 , тоді як п'ятимодальний варіант враховує переміщення лише в нелінійній постановці. У подальшому аналогічні дослідження доцільно виконати для оболонок складнішої геометрії.

1. Бате К., Вилсон Е. Численные методы анализа и метод конечных элементов. – М.: Стройиздат, 1982. – 447 с.
2. Бурак Я.Й., Рудавський Ю.К., Сухорольський М.А. Аналітична механіка локально навантажених оболонок. – Львів: Інтеллект–Захід, 2007. – 240 с.
3. Вагин П.П. Численное решение задач механики деформирования гибких оболочек с конечной сдвиговой жесткостью: Автореф. дис. ... канд. физ.-мат. наук. – Львов, 1990. – 17 с.
4. Григоренко Я.М., Влайков Г.Г., Григоренко А.Я. Численно-аналитическое решение задач механики оболочек на основе различных моделей. – К.: Академперіодика, 2006. – 472 с.
5. Григоренко Я.М., Мукоєд А.П. Решение нелинейных задач теории оболочек на ЭВМ. – К.: Вищ. шк., 1983. – 286 с.
6. Новожилов В.В. Основы нелинейной теории упругости. – М.; Л.: ГИТТЛ, 1948. – 211 с.
7. Пелех Б.Л. Обобщенная теория оболочек. – Львов: Вищ. шк., 1978. – 159 с.
8. Победра Б.Е. О взаимосвязи геометрической и физической нелинейности в теории упругости и о смысле вектора перемещений // Изв. АН Арм. ССР. Механика. – 1987. – **40**, № 4. – С. 15–26.
9. Рикардс Р. Б. Метод конечных элементов в теории оболочек и пластин. – Рига: Зинатне, 1988. – 284 с.
10. Шот І.Я. Чисельне розв'язування задач теорії тонких оболонок, податливих на зсув та стиснення // Вісник Одеськ. нац. ун-ту. Математ. і механіка. – 2013. – **18**, вип. 1 (17). – С. 132–141.
11. Babuska I., Whiteman J. R., Strouboulis T. Finite elements: an introduction to the method and error estimation. – Oxford: Oxford University Press, 2011. – 352 p.
12. Bernakevych I.E., Vahin P.P., Shot I.Ya. A study of the stable equilibrium of thin shells compliant to shear and compression // J. of Math. Sc. – 2012. – **181**, № 4. – P. 497–505.
13. Libai A., Simmonds J. G. The nonlinear theory of elastic shells. – Cambridge: Cambridge Univ. Press, 1998. – 560 p.

НЕЛИНЕЙНОЕ ДЕФОРМИРОВАНИЕ ТОНКИХ ОБОЛОЧЕК, ПОДАТЛИВЫХ НА СДВИГ И СЖАТИЕ

С использованием соотношений геометрически нелинейной теории тонких оболочек, податливых на сдвиг и сжатие (шестимодальный вариант), записаны ключевые уравнения для определения их напряженно-деформированного состояния. Методом конечных элементов получены числовые решения задач о деформации полосы-пластины и катеноида согласно с рассматриваемой теорией, сравнены эти решения с построенными на основе теорий оболочек Кирхгофа–Лява и Тимошенко–Миндлина (пятимодальный вариант).

NONLINEAR DEFORMATION OF THIN SHELLS COMPLIANT TO SHEAR AND PRESSURE

On the basis of relations of non-linear geometric theory of thin shells compliant to shear and pressure (a six-modal variant) the key equations to determine stress-strain state are written. A numerical analysis by the finite element method of solutions of the deformation band-plate and katenoid obtained by examining theories with solutions that are based on theories of shells Kirchhoff–Love and Timoshenko–Mindlin (a five-modal variant).

Львів. нац. ун-т імені Івана Франка, Львів

Одержано
20.09.13